

深海における不規則波の進行にともなう変形について

大阪大学工学部 正員 横木 亨
学生員 田端竹千穂

1. まえがき: 現在海洋・海岸構造物の計画に際しては、不規則な性状をもつ風浪を確率的で規則波にあわせて設計における諸量の決定を行なっている。しかし海浜波をその本来の姿により近い不規則波として取扱い、より経済的に、より安全性のある計画、設計の重要性がさけられない、またその理論の解明も行なわれつつある。本研究もその研究の一環として、まず深海での減衰域における不規則波の進行にともなう変形を、そのペーパースペクトルの変形としてとらえ、実験結果と理論の相違について考察を進めたものである。

2. 実験及び解析方法: 実験に用いた不規則波発生機は、木ワイヤトライアズ発信器の出力信号を、狭帯域津波器を通して、フラット型造波機を駆動せしめるものである。発生波高は図-1に示すように、水深60cmで造波板からの距離2.3m, 14.4m, 26.5mの3つの測定点I, II, IIIに設置した波高計を通して、データーレコーダーにより磁気テープに記録してこの測定時間の波高変化より、(1)式を用いてスペクトルの各成分間にかかる非線型効果によるエネルギー移行を求め、Hasselmannの理論式を Barnett & Neumannスペクトルに対して直応して計算式(2)の値と比較して。不規則波の解析は Tukey の方法を用ひ自由度100としてスペクトルを求め、周波数の正の部分のみでスペクトルを定義し、その面積が水波変動のエネルギー平均と等しくなるようにしている。

<エネルギー移行の実測値算定式>

深海波としてとりあつかっているので、スペクトルの乗外へのエネルギー遷移率をDとすると、スペクトルの時間的変化は次式で表される。

$$\frac{\partial \Phi}{\partial t} = C_g \left(\frac{\partial \Phi}{\partial x} + D \Phi(f) \right) \quad (1)$$

ここに、 Φ : スペクトル、 f : 周波数、 C_g : 波速である。
無論においては、Dとして内部粘性による効果及び側面摩擦による効果を考慮して次式で求めた。

$$D = \frac{256 \sqrt{\pi} g^5}{g^3} + \frac{8\pi \sqrt{\pi}}{gB} f^4 \quad (2)$$

ここに B は水路中、 ν はIKの
動粘性係数である。

<エネルギー移行に関する、

Barnett の計算式>

$$\frac{\partial \Phi}{\partial t} = \Gamma - \Gamma \Phi(f) \quad (3)$$

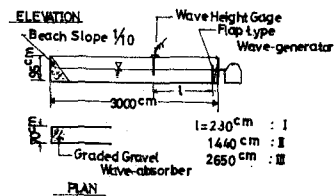


図-1

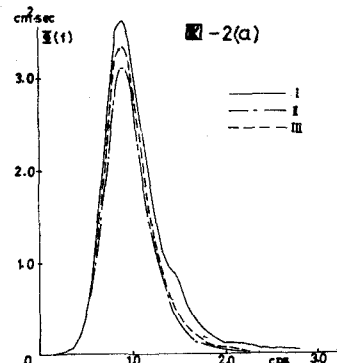


図-2(a)

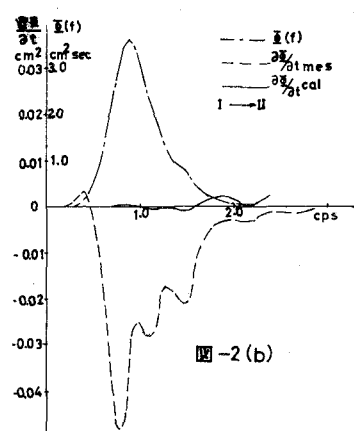


図-2(b)

(3)式において右辺第一項はスペクトルの他の成分より流入するエネルギーを表わし、第二項は他の成分への流出エネルギーを表わすもので、 \bar{P} 及び \bar{E} は方向スペクトルを $(\%/\pi)$ $\times \cos^4 \theta$ とおけば次式で表えられる。

$$\bar{P} = \frac{4.4 \times 10^8 E^2 f_0^8}{g^4} \cdot \frac{3\pi}{8} \left(1 - 0.42 \frac{f_0}{f}\right)^3 \times \exp \left[-4 \left(1 - \frac{f_0}{f}\right)^3 + 0.1 \left(\frac{f_0}{f}\right)^5 \right]; f > 0.42 f_0 \quad \text{otherwise} \quad (4)$$

= 0.

$$\bar{E} = \frac{7.5 \times 10^7 E^2 f_0^7}{g^4 f} \left(1 + \frac{8 \times 16^2}{45\pi}\right) \left(f - 0.53 f_0\right)^3; f > 0.53 f_0 \quad \text{otherwise} \quad (5)$$

= 0.

(4), (5)式中の E , f_0 は全エネルギー及び平均周波数である式で表えられる値である。

$$E = \int \bar{E}(f) df, \quad f_0 = \left[\frac{1}{E} \int f^2 \bar{E}(f) df \right]^{1/2}$$

3. 解析結果：不規則波発生装置で発生させた代表的なスペクトルの特性は表-1に示す通りである。

表-1

	測定	全エネルギー cm ³	最大ローパー周波数	備考
A	I	2.350	0.90	
	II	1.832	0.90	
	III	2.016	0.90	
B	I	1.763	1.50	逆波吸音面に碎波
	II	1.074	1.40	面に碎波
	III	0.905	1.40	あり

実験の結果を大別すると表-1及び図-2と図-3で示すようにに2種類に別けることができる。

A: 単一セーフをもつためらかなくスペクトルで、図-2(a)に示すようにそのローパーが比較的低周波数側にあり、進行とともに逆波のローパーの周波数の変化がなくほぼ相似形を保つ減衰するもので、またその場合非線型効果によるエネルギー移行の値は、図-2(b)に示すように全く一致している。

B: 二つのセーフをもつスペクトルで、図-3(a)に示すようにその最大ローパーが比較的高周波数側にあり、それが低周波側へ移動しつつその形はAの形に近づかつ減衰する波で、この場合は図-3(b),(c)に示すように、上述の非線型効果によるエネルギー移行の値は、計算値と実測値とよく一致している。このA,Bの波の状態をみてみると、Aの波は波形勾配が比較的小く、一般に穏やかな波であるのにに対しBは波形勾配が比較的大きく逆波吸音面において波が非常に乱れ、中に破碎波があるものもあればなかつて状態である。

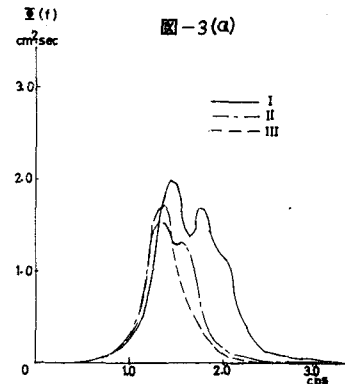


図-3(a)

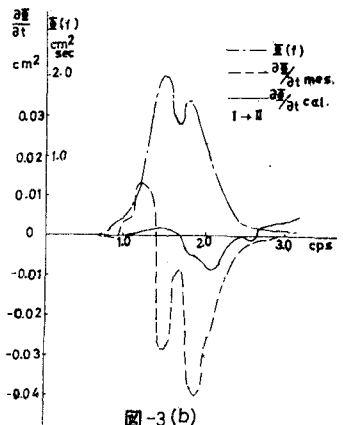


図-3(b)

4. 考察: スペクトルの変化に及ぼす原因は現在のところよくわからぬが、造波板前面で碎波を生じ易い高周波数領域にヒーフのある波(先述のB)は十分発達した波と考えてよく、このため十分発達した波については光易波との風浪の実験結果でもありわれるヒーフの移動がみられたのではないかと考えられる。非線型効果の計算値と実測値の一致度も、Barnett の計算値が十分発達した波という仮定にもとづいているものであるので、高周波数側にヒーフの存在する波か、図-3(b)及び(c)で示すより比較的一致することも上述の波の発達程度からさせて考えればう乎く説明つくよりである。こないだして碎波を生じない波形勾配の比較的小さい波(A)の場合には造波装置では十分発達して波とはいいくらい状態ではなかったかと考える。

なお、上記スペクトルのヒーフの移動に関するは、 $f=1.3 \text{ cps}$ のヒーフを示す波の場合、水深 $H=60 \text{ cm}$ ではみられないが、ヒーフの移動が水深を浅くして $H=50 \text{ cm}$, 40 cm の場合には生じていることから、水深を浅くすることによって波の発達し易くなるということが出来るかも知れない。

また図-2(a)において、測定IIIのスペクトルが測定IIのスペクトルより大きいのは、反射の影響であり、低周波側にヒーフをもつスペクトルを発生させた場合、とくに消波機能に注意を払わなければならぬ。

5. 結語: 以上本学において試作した造波装置の性能をスペクトルの変化の面からとらえて近似的な風浪スペクトルを十分再現しうるかどうかを論じたわけであるが、なお他の風浪資料及び、実測資料と比較検討するとともに、上述の水深の効果、さらには浅海領域における波のスペクトルの変形を検証したいと考えている。

最後に、本研究において実験及び計算に多大の協力をいたした伊藤部学生の大串昇君に深甚の謝意を表すとともに、本研究の一部原稿は研究費で行なわれたことを付記しておきたい。

6. 参考文献:

- 1). Hasselmann, K (1962)

On the non-Linear energy transfer in a gravity-wave spectrum: Part I. General theory. J. Fluid Mech. 12, 481-500

- 2). Barnett, T.P. (1968)

On the generation, dissipation and prediction of ocean waves. J. Geophys. Res. Vol. 73, No. 2. 513-29

- 3). Mitsuyasu, H (1968)

A note on the non-linear energy transfer in the spectrum of wind-generated waves. Report of Port & Harbour Technical Research Institute, No. 54

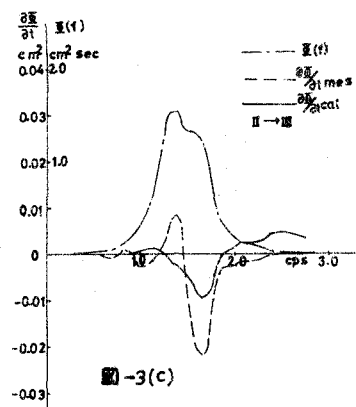


図-3(c)